

## *rnc*基因的高表达及核糖核酸酶Ⅲ的纯化

陈苏民

(第四军医大学生物化学教研室 西安)

Court, D. L.

(美国 NIH/NCI-FCRF-BRI 染色体生物学实验室)

根据大肠杆菌中核糖核酸酶Ⅲ(RNaseⅢ)含量很低的原因是RNaseⅢ能作用于自身基因(*rnc*)转录物5'端、负反馈调控其自身合成,设计RNaseⅢ高表达的方案。去除*rnc*基因5'侧能转录生成可被RNaseⅢ降解的RNA结构的序列,保留整个*rnc*基因及其5'侧的天然翻译起始序列,将之置于 $\lambda$  P<sub>L</sub>启动子控制下,所构建的质粒在大肠杆菌中经诱导后高表达出RNaseⅢ,其含量达细胞总蛋白质量的65%以上,并在菌体内形成包涵体。利用RNaseⅢ溶解度变化的特点,在低温、低盐条件中裂菌,并洗涤沉淀,在室温、高盐条件下溶解、过Q-Sepharose FF柱,获得具有良好活性、电泳纯的RNaseⅢ,收获量为10—12 mg/100ml培养液。同时还发现RNaseⅢ具有特异性结合ATP的活性。

**关键词** 核糖核酸酶Ⅲ; *rnc*基因; 基因表达; 蛋白质纯化

核糖核酸酶Ⅲ(RNaseⅢ)是能切断特定结构RNA双链的一种大肠杆菌内切核糖核酸酶<sup>[1]</sup>,它在rRNA成熟过程的起始步骤中定点切断初始转录物30S RNA<sup>[2]</sup>,并对一些大肠杆菌和噬菌体基因转录物进行加工<sup>[3-7]</sup>,从而在转录后调控基因的表达中起着重要的作用。RNaseⅢ对RNA的作用位点还不清楚,它对不同基因转录物加工调控的机理也正在研究之中,这就需要纯化的RNaseⅢ供作分析。在野生型大肠杆菌中RNaseⅢ的合成和含量都很低<sup>[8]</sup>,提纯困难。因此我们拟用基因工程手段去获取大量纯RNaseⅢ。

我们已证明RNaseⅢ在大肠杆菌中含量很低的原因是由于RNaseⅢ活性对自身表达的负反馈调节<sup>[8]</sup>。据此我们设计了亚克隆和高表达*rnc*基因(编码RNaseⅢ)的方案,实验得到预期的成功,并由此获得电泳单带纯、活性良好的RNaseⅢ。

## 材 料 和 方 法

### (一)酶和试剂

限制性内切酶和DNA修饰酶购自Bethesda Research Laboratories Inc., New England BioLabs, 和Boehringer Mannheim。DNA序列分析采用U. S. Biochemical Corp. 的Sequenase kit。<sup>32</sup>P标记核苷酸来自Amersham。

### (二)质粒和菌种

*rnc*基因来自质粒pCSB(图1), pCSB为除去质粒pSB<sup>[8]</sup>中两个Nru I切点间的序列再环化而成。表达质粒采用含P<sub>L</sub>启动子的pJL6<sup>[9]</sup>。从pJL6构建pCE12见文献[8]。宿主菌用大肠杆菌TAP 106<sup>[8]</sup>。DNA重组和转化采用Maniatis等<sup>[10]</sup>

本文于1991年1月28日收到。

方法。

### (三) RNase Ⅲ 的诱导表达和纯化

TAP 106(pCR11)在含氨基青霉素的LB培养液中32℃振荡培养到OD<sub>600nm</sub>约0.5,转入42℃水浴振荡一定时间。冰浴冷却培养液,离心收集菌体。用25%蔗糖-TED液(25m mol/L Tris-HCl pH8.0, 1m mol/L EDTA, 1m mol/L DTT)离心洗涤一次,再悬浮在25%蔗糖-TED液中,加溶菌酶至0.2mg/ml、冰浴放置20 min。加MgCl<sub>2</sub>·6H<sub>2</sub>O至8m mol/L、DNase I至2u/ml, RNaseA至0.5μg/ml,以及裂菌缓冲液(终浓度为1% NP40, 0.5%脱氧胆酸钠, 10m mol/L Tris-HCl pH 7.0, 5m mol/L EDTA),混匀,冰浴放置30min, 4℃离心15 000×g 20min。沉淀在0—4℃用裂菌缓冲液仔细分散悬浮、离心洗涤三次,再用TMD液(50m mol/L Tris-Cl pH7.0, 5m mol/L MgCl<sub>2</sub>·6H<sub>2</sub>O, 1mmol/L DTT)悬浮洗涤两次。沉淀在室温(20℃)悬于8%(NH<sub>4</sub>)<sub>2</sub>SO<sub>4</sub>, 50m mol/L Tris-HCl pH 8.0中, 20℃离心10 000×g 15min, 上清液上经50m mol/L Tris-HCl pH8.0平衡的Q-Sepharose FF(Pharmacia)柱,收集不吸附的穿过峰,置于0℃中过夜, 0℃离心10000×g 15 min, 收得白色沉淀为纯RNase Ⅲ。在室温溶于8%(NH<sub>4</sub>)<sub>2</sub>SO<sub>4</sub>, 50m mol/L Tris-HCl pH 8.0中作紫外吸收扫描,用十二烷基硫酸钠-聚丙烯酰胺凝胶电泳法(SDS-PAGE)<sup>[11]</sup>鉴定其纯度,用Pierce公司提供的试剂按说明进行蛋白定量。纯化的RNase Ⅲ可在上述溶液中0—4℃保存,用前暖至室温使絮状沉淀的RNase Ⅲ溶解,也可在50%甘油中-20℃长期储存。

### (四) RNase Ⅲ 活性检测

根据我们以前研究RNase Ⅲ能作用于

λ噬菌体*sib*转录物<sup>[12,13]</sup>,按我们报道的方法<sup>[14]</sup>进行。*sib*-RNA用体外转录方法合成:取λ DNA NdeI(λ DNA第27632位)-HindⅢ(第27479位)<sup>[15]</sup>15 3bp片段<sup>[14]</sup>插入质粒pGEM4(Promega)的多克隆位点的BamHI-HindⅢ中,采用Promega公司的Riboprobe system按说明操作,在<sup>35</sup>S-ATP(Amersham提供)存在下,体外转录合成<sup>35</sup>S-RNA,按Regnier及Portier方法<sup>[16]</sup>提取RNA,作为RNase Ⅲ的作用底物。

### (五) 核苷酸结合活性测定

方法见以前报道<sup>[17]</sup>。

### (六) 氨基酸序列分析

见以前的报道<sup>[20]</sup>。

## 结 果

### (一) pCR11和pCR21的组建

此二质粒的构建见图1。两者相同之处是都去除天然的*rnc*启动子,将*rnc*基因(包括其SD序列)置于λ P<sub>L</sub>启动子的下游;不同的是pCR11含有*rnc*基因5'侧的序列较长,直到Ssp I位点(见图2),pCR21则只到Hinc II位点。将构建的质粒分别转化大肠杆菌TAP 106。

### (二) *rnc*基因的诱导表达

TAP 106(pRC21)经42℃诱导4 h后SDS-PAGE分析,可见在相当于RNase Ⅲ分子量(25kDa)处出现一条浓带(图3中I),作Western blotting将蛋白质转移到硝酸纤维素膜上与抗RNase Ⅲ抗体反应、酶标染色,证明这蛋白带是RNase Ⅲ。凝胶经考马斯亮蓝染色后作光密度定量扫描,表明这蛋白带量占细胞总蛋白量的65%以上。免疫电镜观察, RNase Ⅲ在细菌内形成包涵体(图4)。对比之下, TAP 106(pCR11)经42℃诱导, SDS-PAGE后

无论作考马斯亮蓝或银染色都看不到RNase III带的出现。

(三)RNase III的纯化

图3显示了RNase III纯化过程的SDS-PAGE图像。由图3可见, TAP 106

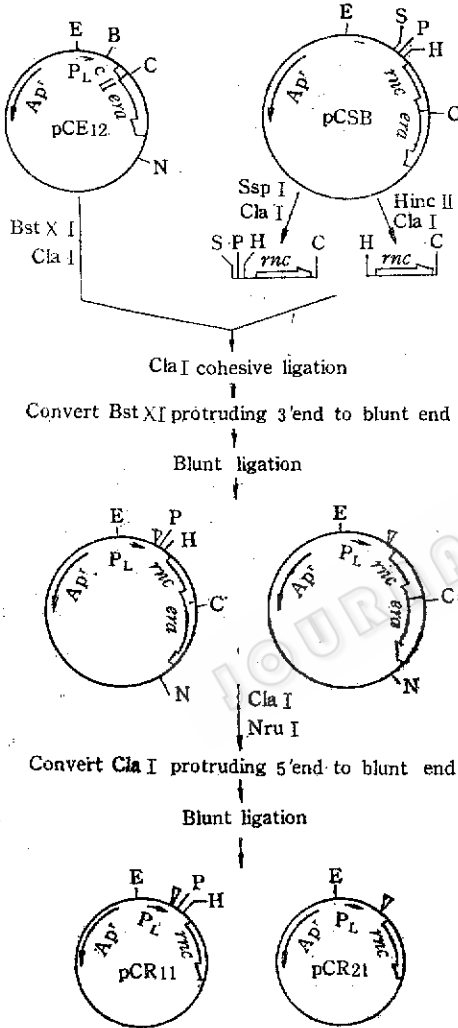


图1 质粒pCR 11和pCR 21的构建  
 Fig. 1 Construction of plasmid pCR11 and pCR21  
 B: BstXI, C: ClaI, E: EcoRI, H: HincII, N: NruI S: SspI, Δ Restriction sites vanished during DNA recombination

(pCR21)在42℃诱导4 h后, 低温、低盐

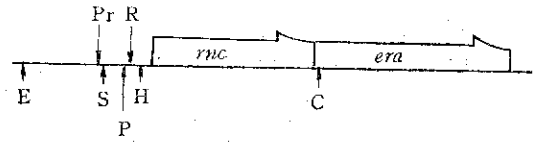


图2 rnc基因附近的酶切位点  
 Fig. 2 Enzyme cutting sites of the adjacent region of rnc gene  
 E: EcoRI, C: ClaI, H: HincII, P: PstI, S: SspI, Pr: Promoter of rnc gene, R: sites that RNase III acts on the gene transcript

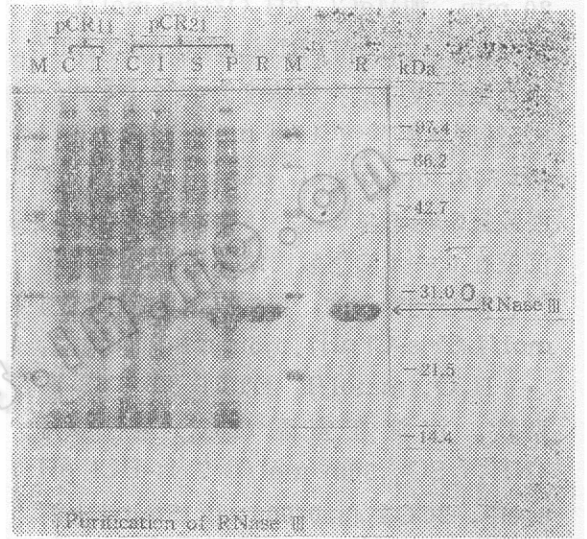


图3 pCR11及pCR 21在大肠杆菌TAP 106中的蛋白质表达及RNase III的纯化  
 Fig.3 Expression of proteins by pCR11 or pCR21 in E.coli TAP106 and purification of RNase III  
 SDS-PAGE in 10% gel following Coomassie blue staining. C. Bacteria grown at 32°C, I. After induced at 42°C for 4 h, M. Markers for protein molecular weight, S and P. Supernatant and precipitate of the induced bacterial lysate, R. RNase III obtained from washing the precipitate, R' .RNase III gained by further passing through Q-Sepharose FF column

条件下裂菌, 绝大部分RNase III不溶, 存在于裂菌液的沉淀部分。沉淀在0—4℃经裂菌缓冲液几次离心洗涤, 再在室温溶于8% (NH<sub>4</sub>)<sub>2</sub>SO<sub>4</sub>, 就得到在SDS-PAGE染色凝胶中只看到单一蛋白带的

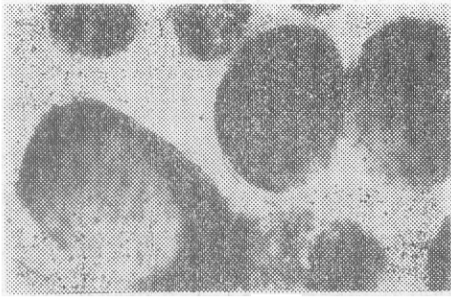


图 4 TAP106 (pCR21) 42°C 诱导2h后的免疫电镜图像

Fig. 4 Immuno-electromicroscope of TAP106 (pCR21) after induced at 42°C for 2h. The black spots are colloid-gold grains which show that RNase III concentrated in inclusion bodies

RNase III (图3中R)。但这 RNase III 溶液在紫外260nm处有较高的吸收值,表明其中混有核酸类的物质,通过Q-Sepharose FF柱,260 nm 吸收峰物质以及残留的杂蛋白吸附在柱上,RNase III 不被吸附而穿过。由此得到纯RNase III,呈现典型的蛋白质溶液紫外吸收光谱。图3是用Bio-Rad公司提供的MiniProtein II电泳装置所作的SDS-PAGE,凝胶厚0.7mm、齿槽宽3mm,每槽加入样品1μl含RNase III 0.02 μg,电泳后染色已见十分清楚的RNase III 区带;图3中R'加样量为3μl含纯RNase III 1.85μg,未能见有RNase III 以外的蛋白带;即使加载过量的样品达5μg,(此时电泳见拖尾),无论用考马斯亮蓝或银染色都看不到杂蛋白的污染。每100 ml培养液能收得纯RNase III 10—12mg。测定所纯化的RNase III 蛋白N端30个氨基酸残基序列,与从 *rnc* 基因推得的蛋白质序列<sup>[18]</sup>完全相同。

#### (四)酶活性检测

图5显示 *sib* 转录物与纯化的 RNase III 保温后作7mol/L尿素-PAGE放射自显影图像。我们早先研究 RNase III 作用于 *sib*-

RNA的位点见图6<sup>[18,14]</sup>,即RNase III 水解 *sib*-RNA 应产生24核苷酸的特征片段。图5的4及5列都能清楚地看到24和96多核苷酸的片段,后者为转录物从5'端到被RNase III 切断的第一个位置(图6)间的长度。这就证明所纯化的蛋白质具有RNase III 的特异酶活性。将大肠杆菌的tRNA,酵母tRNA、质粒DNA、或M13单链DNA与所纯化的RNase III 保温都未能测出非特异性RNase或DNase活性。

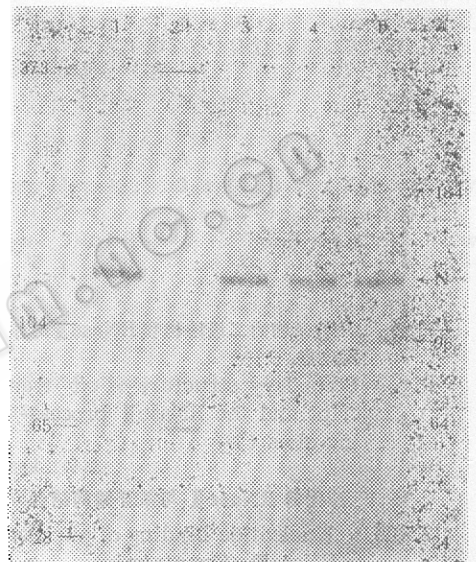


图 5 <sup>35</sup>S-*sib* 转录物与 RNase III 保温后 7mol/L尿素-聚丙烯酰胺凝胶电泳的放射自显影图像

Fig. 5 Autoradiography of <sup>35</sup>S-*sib* transcript incubated with RNase III followed 7 mol/L urea-polyacrylamide electrophoresis.

1. The transcript alone, 2. Molecular weight standards, 3. The transcript incubated at 37°C for 15 min, 4 and 5. The transcript added RNase III and incubated at 37°C for 15 min. Nucleotide numbers of different fragments are showed along side. N, other transcript of the plasmid.

#### (五)特异性ATP结合活性

当我们测定纯化的 Era 蛋白特异性结合核苷酸的活性<sup>[17]</sup>时,用纯化的RNase III 作对照,无意中发现 RNase III 具有与

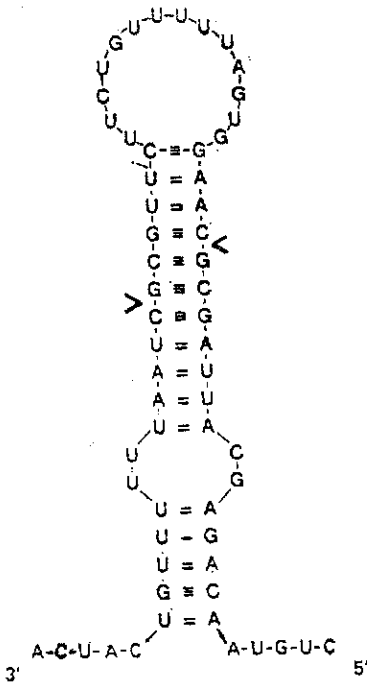


图 6 *sib* 转录物的二级结构和 RNase III 的作用位点

Fig. 6 Secondary structure of *sib* transcript and the RNase III processing sites (>)

表 1 纯化的 RNase III 与核苷酸的结合

Table 1 Nucleotide binding of purified RNase III (Counts/min)

$\alpha$ - $^{32}$ P-NTP	BSA	RNase III	Era <sup>[20]</sup>
dGTP	3	380	21 731
CTP	0	2 034	832
UTP	0	181	14
ATP	9	50 827	1 605
GTP	0	1 154	44 596

ATP结合的活性。如表1的实验结果所示，RNase III不与GTP、UTP、CTP等结合，它与ATP的结合是特异的。测定RNase III酶活性时，缓冲液中不含ATP<sup>[14]</sup>，或加入ATP都不影响其酶活性。将RNase III与ATP共温育后作薄层分析<sup>[17]</sup>，未能发现RNase III有ATP酶活性。将RNase III的氨基酸序列输入Gene Bank也未发现其与已知能结合ATP的蛋白质或ATP酶的氨

基酸序列有同源之处。

## 讨 论

*rnc* 基因上游有经转录生成能与核糖体结合、起始翻译的序列(包括SD序列)<sup>[1,2]</sup>，因此我们保留基因上游的一段序列放在强启动子 $P_L$ 下去求高表达。但以往我们保留PstI位点以上(见图2)段落与 $P_L$ 启动子连接，都得不到预期的高表达，如同本文所述pCR11经诱导后，电泳图谱上看不到RNase III的蛋白带。其后我们的研究发现RNase III能切断*rnc*转录物5'端形成的二级茎-环结构，阻止*rnc*-mRNA的翻译，从而负反馈地抑制自身的表达<sup>[8]</sup>。据此，我们重新设计实验方案，去除HincII以上的序列(图2)，再与 $P_L$ 连接，这样由 $P_L$ 启动的转录物不会形成能被RNase III作用的二级结构，却又保留了天然的翻译启动信号的序列。按此构建得pCR21，经诱导后表达RNase III的量高达占细胞总蛋白质65%，达到了预期目的。这实验的成功，也进一步证实我们曾阐述的RNase III对自身表达负反馈机理<sup>[8]</sup>。

除转录强弱以外，mRNA的稳定性也是影响基因表达水平的重要因素。大肠杆菌中mRNA降解的速度差别很大，不同mRNA的半衰期可相差50倍以上<sup>[21]</sup>，已知一些RNase能作用于某些基因转录产生的RNA，从而对这些基因编码的蛋白质的合成起到促进或抑制的作用<sup>[10]</sup>，RNase III就是其中的例子，它对大肠杆菌rRNA、tRNA、某些mRNA、噬菌体一些基因(*int*, *N*, *cII*, *cIII*)的转录物都起作用<sup>[3-7]</sup>，它对自身合成的反馈调节则是一个特例。RNase III对基因表达的调控比已知的可能要更广泛，因为*rnc*基因突变的大肠杆菌总蛋白质提取物双向电泳图谱

显示: 10%的蛋白质的生成升高或降低。外源基因引入大肠杆菌中, 其表达也可能受到RNase对转录后调控的作用, 如得不到预期的高表达, RNase作用也是一个应考虑方面; 或需针对性地加以解决。本文研究结果就是一个例子。大肠杆菌中基因

高表达的产物, 常在菌体内形成包涵体, 可能有多方面的原因<sup>[17]</sup>。RNaseⅢ具有特异性结合ATP的活性, 在其他文献中还未见有报道, 其对RNaseⅢ的功能有何作用尚不清楚。

### 参 考 文 献

- [1] Gegenheimer, P., and Apirion, D., *Microbiol. Rev.*, 45:502, 1981.  
 [2] Sirdeshmukh, R., and Schlessinger, D., *Nuc. Acid. Res.*, 13:5041, 1986.  
 [3] Takata, R. et al., *Mol. Gen. Genet.*, 209:28, 1987.  
 [4] King, T. C. et al., *Microbiol. Rev.*, 163:1060, 1986.  
 [5] Hughes, J. A. et al., *Nuc. Acid. Res.*, 15:717, 1987.  
 [6] Hyman, H. C. and Honigman, A., *J. Mol. Biol.*, 189:131, 1986.  
 [7] Portier, C. et al., *EMBO J.*, 6:2165—2170, 1987.  
 [8] 陈苏民, Court, D. L., *生物化学杂志*, 7(5):518, 1991.  
 [9] Lautenberger, J. A., *Gene*, 23:171, 1983.  
 [10] Maniatis, T. et al., *Molecular Cloning, A Laboratory Manual*. Cold Spring Harbor Laboratory, New York, 1982.  
 [11] Silhavay, T. J. et al., *Experiments with Gene Fusion*, Cold Spring Harbor Laboratory, New York, 1984.  
 [12] Montanez, C. et al., *J. Mol. Biol.*, 191:29, 1986.  
 [13] Court, D. L. et al., *J. Mol. Biol.*, 166:233, 1983.  
 [14] Schmeissner, U. et al., *J. Mol. Biol.*, 176:39, 1984.  
 [15] Hendrix, R. W. et al., *Lambda I*, Cold Spring Harbor Laboratory, pp. 595—596, 1983.  
 [16] Regmier, P. and Portier, C., *J. Mol. Biol.*, 187:23, 1986.  
 [17] 陈苏民, Court, D. L., *生物化学杂志*, 8(1):38, 1992.  
 [18] March, P. E. et al., *Nucleic Acids Res.*, 13:4677—4685, 1985.  
 [19] Gegenheimer, P. and Apirion, D., *Mirobiol. Rev.*, 45:502—541, 1981.  
 [20] 陈苏民, Court, D. L., *生物工程学报*, 7(3):201, 1991.  
 [21] Nilsson, G. et al., *Nature* 312:75—77, 1984.

## Overexpression of *rnc* Gene and Purification of RNase Ⅲ

Chen Sumin

(Department of Biochemistry, The Fourth Military Medical University, Xian)

Court D. L.

(Laboratory of Chromosome Biology, NIH/NCI-FCRF-BRI, Frederick, Maryland, U.S.A.)

The reason for low content of RNaseⅢ in *E. coli* is that RNaseⅢ has a negative feedback action on itself synthesis by cutting the transcript of itself gene, *rnc*, at 5'-terminal. On these grounds, the scheme for

overproduction of RNase III was designed. The 5'-flank sequence of *rnc* gene which transcript forms a secondary structure cutting by RNase III was removed, and the whole coding sequences including the translational initiation signal was reserved and put under the control of P<sub>L</sub> promoter. The constructed plasmid, pCR21, with the recombined *rnc* gene overproduces RNase III which occurs over 65% of total cell protein and forms inclusion body in *E. coli* after 42°C induction. By utilizing the characteristics of solubility of the protein, electrophoretic pure RNase III has been obtained with a simple procedure including lysed the bacterial cell and washed precipitate of the lysate repeatedly at low temperature and low salt concentration, dissolved and passed through Q-Sepharose FF column in high salt concentration and room temperature. Purified RNase III yielded 10—12mg per 100ml culture and cut  $\lambda$  *sib* transcripts at special sites. RNase III with an activity on binding ATP specifically has been found.

#### Key words

RNase III; *rnc* gene; gene expression; protein purification